

Paper Type: Original Article



Operational Strategies to the Mechanical Performance

Assessment of Concrete with the Neural Network and Artificial Intelligence

Hadi Faghihmaleki^{1,*} , Mehdi Ghadiri¹

¹Department of Civil Engineering, Faculty of Civil Engineering, Ayandegan Institute of Higher Education, Tonkabon, Iran; h.faghihmaleki@gmail.com.

Citation:



Faghihmaleki, H., & Ghadiri, M. (2024). Operational strategies to the mechanical performance assessment of concrete with the neural network and artificial intelligence, 5(1), 79-92.

Received: 20/11/2023

Reviewed: 23/12/2023

Revised: 28/01/2024

Accepted: 06/04/2024

Abstract

Purpose: This study was conducted to predict the resistance properties of concrete with different types of neural networks. The studied data was collected from the database of 127 mixing plans. The input data included the age of concrete in day, the amount of coarse grain, fine grain, cement, water and concrete plasticizer. The target data included compressive strength.

Methodology: In this research, an attempt has been made to make models for different projects by statistical study of laboratory samples of concrete in order to have a suitable prediction for estimating the resistance properties of concrete. The use of artificial intelligence as a modern method has a special place in engineering sciences. In this research, the data used were first normalized and then the desired data were trained using the Lorenberg Marquardt algorithm.

Findings: The evaluation criteria of artificial neural network models were obtained using evaluation and error and the results showed that the use of 10 hidden layers had the highest correlation coefficient and the lowest error. The structure of this network was multi-layered perceptron.

Originality/Value: The results showed that for the constructed neural network, the value of correlation coefficient, mean root, error square and mean absolute error of the artificial neural network were 0.94 and 1.9, respectively.

Keywords: Mechanical performance of concrete, Artificial neural network, Lunberg marquardt algorithm, Concrete quality control.



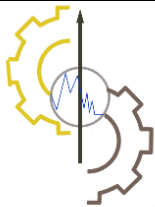
Corresponding Author: h.faghihmaleki@gmail.co



10.22105/imos.2024.453210.1346



Licensee. **Innovation Management & Operational Strategies**. This article is an open access article distributed under the terms and conditions of the Creative Commons Attribution (CC BY) license (<http://creativecommons.org/licenses/by/4.0>).



راهبردهای عملیاتی جهت بررسی عملکرد مکانیکی بتن به کمک شبکه عصبی و هوش مصنوعی

هادی فقیه‌ملکی^۱، مهدی غدیری^۱

^۱گروه مهندسی عمران، دانشکده مهندسی عمران، موسسه آموزش عالی آیندگان، تنکابن، ایران.

چکیده

هدف: این مطالعه با هدف بررسی پیش‌بینی خواص مقاومتی بتن به کمک انواع مختلف شبکه‌های عصبی انجام گرفت. داده‌های مورد مطالعه در این پژوهش از بانک اطلاعاتی ۱۲۷ طرح اختلاط جمع‌آوری شده است. داده‌های ورودی شامل سن بتن برحسب روز، میزان درشت‌دانه، ریزدانه، سیمان، آب، روان‌کننده برحسب کیلوگرم بر سانتی متر مکعب بوده است و داده‌های هدف شامل مقاومت فشاری بوده است.

روش‌شناسی پژوهش: در این پژوهش سعی شده با مطالعه آماری نمونه‌های آزمایشگاهی بتن جهت پروژه‌های گوناگون مدل‌هایی ساخته شود تا بتواند پیش‌بینی مناسبی جهت تخمین خواص مقاومتی بتن داشته باشد. استفاده از هوش مصنوعی به عنوان یک روش مدرن جایگاه ویژه‌ای در علوم مهندسی دارد. در این پژوهش داده‌های مورد استفاده ابتدا نرمال‌سازی شدند و سپس داده‌های مورد نظر با استفاده از الگوریتم لورنبرگ مارکوارت مورد آزمایش قرار گرفت.

یافته‌ها: معیارهای ارزیابی مدل‌های شبکه عصبی مصنوعی با استفاده از ارزیابی و خطا به دست آمد و نتایج نشان داد استفاده از ۱۰ لایه مخفی دارای بیشترین ضریب همبستگی و کمترین خطا بوده است. ساختار این شبکه به صورت پرسپترون چندلایه بوده است.

اصالت/ارزش افزوده علمی: نتایج نشان داد برای شبکه عصبی ساخته شده مقدار ضریب همبستگی، ریشه میانگین، مربعات خطا و میانگین خطای مطلق شبکه عصبی مصنوعی ساخته شده به ترتیب برابر است با ۰/۹۴، ۱/۹ بوده است.

کلیدواژه‌ها: عملکرد مکانیکی بتن، شبکه عصبی مصنوعی، الگوریتم لورنبرگ مارکوارت، کنترل کیفیت بتن.

۱- مقدمه

کنترل کیفیت بتن، با توجه به اهمیتی که کیفیت آن از نظر مقاومت و پایداری در سازه‌های بتنی و بتن‌آرمه دارد، یکی از مهم‌ترین برنامه‌هایی است که در کنترل کیفیت عمومی سازه به آن پرداخته می‌شود. در انتخاب نسبت‌های اختلاط بتن، عمدتاً کارایی و روانی بتن، مقاومت در برابر شرایط محیطی ویژه و سازگاری با ضوابط آزمایش مقاومت فشاری مدنظر قرار می‌گیرند. خواص مقاومتی بتن از مهم‌ترین و مرسوم‌ترین پارامترهای بتن است که کارایی و کیفیت آن را تعیین می‌کند [1].

روش‌های آزمایشگاهی تعیین خواص مقاومتی بتن نسبتاً پیچیده، وقت‌گیر و مستلزم آماده‌سازی دقیق نمونه و در اختیار داشتن دستگاه‌های مجهز و حساس است. از طرف دیگر نتایج وابستگی شدیدی به عوامل خارجی مثل خطاهای انسانی، ابعاد نمونه، نحوه بارگذاری و ... دارد. برای حل این مشکل و گریز از روش مستقیم، همواره مهندسان سعی کرده‌اند به وسیله روابط تجربی و دستگاه‌های مختلف، روش کوتاه و غیرمستقیم و درعین حال دقیق، برای پیش‌بینی و تخمین این مهم پیدا کنند. یکی از روش‌های مرسوم، سریع و نسبتاً دقیق، تعیین خواص مقاومتی بتن به کمک شبکه‌های عصبی مصنوعی است [2].

روش‌های مدل‌سازی سنتی به‌منظور تخمین و پیش‌بینی خواص بتن بر پایه محدودی از اعداد و پارامترها بودند که به‌وسیله رگرسیون‌گیری خطی یا چند متغیره به دست می‌آید. اگر داده‌های جدید تا اندازه‌ای با داده‌های اولیه متفاوت باشند، نه تنها متغیرها، بلکه لازم است شکل روابط نیز تغییر کند؛ اما در مقایسه، شبکه عصبی لازم نیست که در رابطه با شکل و فرم خاص باشد، در عوض لازم است داده‌های ورودی و خروجی کافی در اختیار باشد. توانایی و کارایی شبکه‌های عصبی با رگرسیون‌های خطی و نمایی و حتی چند متغیره مقایسه شده است. این مقایسه‌ها ثابت کرد که شبکه‌های عصبی به‌عنوان یک رهیافت هوشمند در مقابل روش‌های رگرسیونی چند متغیره است [3]. این در حالی است که روش‌های رگرسیونی کارایی خوبی داشته و در بسیاری از تحقیقات استفاده شده و یا در حال استفاده است. یکی از امتیازات رهیافت شبکه‌های عصبی، تخمین کارایی و ارتباط متغیرهای ورودی مختلف با هم دیگر است، یعنی برخلاف آنالیز رگرسیونی، در شبکه‌های عصبی مصنوعی لازم نیست از قبل دانسته شود که بین متغیرها ارتباطی وجود دارد یا خیر، درواقع شبکه‌های عصبی مصنوعی به‌طور هوشمند و با استفاده از الگوریتم‌های آموزش، ارتباطی بین متغیرهای ورودی را پیدا می‌کند [4]. سیف‌الهی و همکارانش [5] در پژوهشی به مدل‌سازی رفتار سدهای بتنی با استفاده از روش‌های شبکه عصبی مصنوعی و رگرسیون لجستیک پرداختند. هدف این پژوهش ایجاد یک روش ترکیبی از رگرسیون لجستیک با بهینه‌سازی الگوریتم بهینه‌سازی گروه ذرات با مقدار حقیقی جهت پیش‌بینی رفتار تجهیزات سد می‌باشد. در این مطالعه از داده‌های ۳۶۵ روز، از ۱۳۹۷/۰۱/۳۱ تا ۱۳۹۸/۰۱/۳۱ که ۶۰۰ مجموعه داده تجهیزات سد شامل پارامترهای دمای آب، سطح آب، فشار دریچه، میزان رسوب‌گذاری، فشار منافذ، دمای هوا، حجم آب ورودی، مشخصات ویژه سد، شرایط بتن، سطح آب مخزن، تغییر مکان افقی و عمودی، اجزای اتصال انتقالی و شتاب زمین، قدرت، فشار، کشش و تنش بالا برای مدل‌سازی استفاده شدند. برای آموزش مدل‌سازی الگوریتم بهینه‌سازی گروه ذرات مقدار حقیقی-رگرسیون لجستیک و ۱۲۰ مجموعه داده جهت آزمایش استفاده گردید. برای ارزیابی عملکرد روش پیشنهادی، از چهار آماره شامل ضریب تعیین (R^2)، ریشه میانگین مربعات خطا ($RMSE$)، ضریب پراکندگی (SI) و میانگین خطاهای انحرافی (MBE) استفاده گردید. نتایج نشان داد که مدل در پیش‌بینی فشار پیژومتری در بدنه سد عملکرد قابل قبولی دارد.

روشنی و همکارانش [6] در پژوهشی به این منظور ترکیب‌های مناسبی از نمونه‌های بتن نفوذپذیر با دانه‌بندی و نسبت‌های آب به سیمان متفاوت به تعداد ۳۶ نمونه ساختند و مورد آزمایش قرار دادند. نسبت آب به سیمان جهت ساخت نمونه‌های آزمایشی در محدوده ۰/۲۸ تا ۰/۳۴ در ترکیب با سنگ‌دانه‌های با حداکثر اندازه اسمی ۹/۵ میلی‌متر، ۱۲/۵ میلی‌متر و ۱۹/۵ میلی‌متر انتخاب شده است. به‌منظور انتخاب مدل مناسب پیش‌بینی تغییرات نفوذپذیری مقایسه بین تکنیک‌های شبکه عصبی مصنوعی و رگرسیون خطی صورت دادند. با استفاده از داده‌های به‌دست‌آمده از فعالیت آزمایشگاهی و بررسی برازش مدل‌ها، مدل بهینه پیشنهاد شده است. مقایسه مدل‌ها نشان داد که رگرسیون خطی در پیش‌بینی تغییرات نفوذپذیری بتن نفوذپذیر نتایج نزدیک‌تری را تولید کرده است. وجود ضرایب ۵۴/۵ و ۵۲/۵ و ۴۱/۵ برای اندازه سنگدانه‌ها نسبت به ضرایب ثابت حدود نصف اعداد ذکر شده نشان‌دهنده تأثیر بیشتر این عامل بر نفوذپذیری است. ژی و همکارانش [7] در پژوهشی نشان دادند که بتن CO_2 می‌تواند قابل‌اعتماد در نظر گرفته شود؛ زیرا مقاومت فشاری آن را می‌توان با تحلیل رگرسیون و شبکه‌های عصبی مصنوعی به‌دقت پیش‌بینی کرد. شبکه عصبی مصنوعی ایجاد شده برای این مقاله امکان پیش‌بینی دقیق مقاومت فشاری بتن CO_2 را فراهم می‌کند. شبکه عصبی مصنوعی یک رابطه قوی با نمونه‌های آزمایشی نشان داد و R مضربی ۰/۹۸ و R مربع ۰/۹۵ را نشان داد. شبکه عصبی مصنوعی نیز توسط ۲۲ مخلوط بتن تایید آزمایشگاهی شد. شبکه عصبی مصنوعی میانگین خطای ۱/۲۴ مگاپاسکال یا ۳/۴۳٪ را در مخلوط‌های اعتبارسنجی نشان می‌دهد که ۵۹٪ نمونه‌های بتن با خطای ۳٪ و ۷۷٪ با خطای ۵٪ هستند. پیش‌بینی موفقیت‌آمیز مقاومت فشاری بتن CO_2 می‌تواند به استفاده بیشتر از مواد سبز کمک کند.

احمد و همکارانش [8] در پژوهشی از روش شبکه‌های عصبی مصنوعی (ANN) برای ساخت یک مدل محصور کردن مستقیماً از داده‌های تجربی برای پیش‌بینی اجزای مختلف پاسخ تنش-کرنش استفاده کردند. یک پایگاه داده آزمایشی متشکل از ۲۲۶ آزمایش فشار محوری بر روی نمونه‌های بتن محدود شده با $LRS FRP$ استفاده کردند. نتایج آزمون، از نظر پاسخ تنش-کرنش کامل محدود، استحکام، کرنش، کرنش گسیختگی FRP و پاسخ اتساع مورد بررسی قرار گرفت. عبارات پیش‌بینی کننده و مدل‌های عملی ANN برای استحکام، کرنش و شکل پاسخ تنش-کرنش محوری ارائه شده‌اند. مدل‌های موجود برای بتن محدود $LRS FRP$ نیز مورد ارزیابی قرار گرفت. نتایج مدل‌های موجود و پیشنهادی نشان می‌دهد که روش‌های پیشنهادی به‌طور قابل توجهی به نتایج بهتری دست می‌یابند. شریعتی و همکارانش [9] در پژوهشی با هدف بررسی پتانسیل استفاده از یک مدل ANN برای پیش‌بینی مقاومت فشاری (CS) و مقاومت الکتریکی (ER) بتن زئولیتی طبیعی (NZC) پرداختند. نتایج تجربی ۳۲۴ نمونه NZC ساخته شده از ۵۴ طرح مخلوط مختلف برای توسعه مدل ANN استفاده کردند. هفت ورودی متغیر هنگام طراحی مدل ANN برای پیش‌بینی مقادیر CS و ER از جمله سن نمونه، نسبت آب به مواد سیمانی، سیمان، NZ ، شن، ماسه و محتوای فوق روان‌کننده در نظر گرفته گرفتند. یافته‌های این مطالعه

پتانسیل کمک به کاهش هزینه‌ها و صرفه‌جویی در زمان را با استفاده از یک تکنیک پیش‌بینی قابل اعتماد به‌جای انجام آزمایش‌های پرهزینه و وقت‌گیر دارد.

در این پژوهش سعی شده است با مطالعه آماری نمونه‌های آزمایشگاهی بتن جهت پروژه‌های گوناگون مدل‌هایی ساخته شود تا بتواند پیش‌بینی مناسبی جهت تخمین خواص مقاومتی بتن داشته باشد. همچنین داده‌های مورد استفاده ابتدا نرمال‌سازی شدند و سپس داده‌های مورد نظر با استفاده از الگوریتم لورنبرگ مارکوارت مورد آزمایش قرار گرفت که این موضوع در کارهای گذشته مورد استفاده قرار نگرفته بود.

۲- روش‌شناسی پژوهش

۲-۱- ساخت بانک اطلاعاتی

بانک اطلاعاتی گسترده و قابل اعتماد پیش شرط لازم برای عملکرد موفق هر شبکه عصبی مصنوعی است [10]. در این پژوهش، از بانک اطلاعاتی ۱۲۷ طرح اختلاط گزارش شده توسط مراجع معتبر [11-13] مطابق جدول ۱ استفاده شده است.

جدول ۱- داده‌های مورد استفاده جهت ساخت مدل.

Table 1- Data used to build the model.

شماره	سن بتن	ماسه (کیلوگرم)	شن (کیلوگرم)	سیمان (کیلوگرم)	آب (کیلوگرم)	خاکستر بادی (کیلوگرم)	مقاومت فشاری (مگاپاسکال)
1	28	633.75	1154	165	168	135	14.78
2	7	789	1098	300	165	0	25
3	28	755	1107	250	150.5	100	41.24
4	7	755	1107	250	150.5	100	32.16
5	7	800	1114	375	135	0	19.4
6	28	751.8	1154.9	380	133	0	48
7	180	633.75	1235	165	168	135	29.56
8	28	821	1144	350	122.5	0	43
9	28	867	1185.56	335	113.9	0	41.2
10	28	633.75	1134	255	162	45	44.31
11	90	807	1185	250	123	50	50.18
12	1	585	1287	400	160	0	11.85
13	180	633.75	1198	255	162	45	46.67
14	7	690.5	1332	370	111	0	26.23
15	28	682.5	1187	110	170	90	9.5
16	7	889.27	1215	300	106	0	29.17
17	180	585	1176	220	176	180	25.08
18	28	585	1093	280	168	120	39.65
19	1	633.75	1076	255	162	45	5.53
20	180	682.5	1123	170	166	30	23.89
21	3	633.75	1165	255	162	45	16.39
22	7	867	1185	335	113.9	0	34
23	180	841	1235	150	105	100	39.03
24	180	585	1176	340	164	60	64.37
25	7	812	1131	350	126	0	26
26	28	800	1114	375	135	0	35.1

جدول ۱- ادامه.

Table 1- Continuation.

شماره	سن بتن	ماسه (کیلوگرم)	شن (کیلوگرم)	سیمان (کیلوگرم)	آب (کیلوگرم)	خاکستر بادی (کیلوگرم)	مقاومت فشاری (مگاپاسکال)
-------	--------	-------------------	-----------------	--------------------	-----------------	--------------------------	-----------------------------

27	7	793.1	1218	320	112	0	32.85
28	7	807	1185	250	123	50	31.07
29	28	682.5	1187	200	164	0	18.06
30	28	1062.79	1051	300	105	0	37.07
31	28	756.2	1175	350	129.5	0	42.4
32	28	1036.2	1024	335	113.9	0	39
33	1	585	394.875	220	176	180	6.26
34	90	755	1107	250	150.5	100	55.09
35	7	841	1235	150	105	100	17.44
36	1	633.75	427.781	210	165	90	4.08
37	3	585	394.875	340	164	60	22.73
38	28	793.1	1218.2	320	112	0	43.35
39	28	821	1144	325	130	0	44
40	28	585	394.875	340	164	60	57.24
41	28	421	1144	350	122.5	0	43.2
42	7	1036.2	1024.8	335	113.9	0	32.44
43	7	795.2	1221.5	392.3	145.1	0	33.2
44	3	682.5	460.688	200	164	0	7.99
45	7	821	1144	350	122.5	0	33.4
46	28	682.5	460.688	170	166	30	20.71
47	28	633.75	724.781	300	159	0	41.53
48	7	735.3	1129.5	307.7	113.8	0	28.1
49	28	736.2	1130.9	380	148.2	0	42.7
50	1	682.5	460.688	200	164	0	3.14
51	28	851	1248	200	100	50	3397
52	180	633.75	427.781	300	159	0	48.64
53	180	633.75	427.781	210	165	90	35.39
54	3	585	394.875	220	176	180	10.86
55	28	861	1263	250	97.5	0	33.95
56	28	585	394.875	250	176	180	22.14
57	180	861	1263	250	97.5	0	53.09
58	180	682.5	460.688	110	170	90	15.66
59	28	481	1235	150	105	100	30.43
60	1	585	394.875	280	168	120	6.67
61	90	841	1235	150	105	100	37.18
62	1	633.75	427.781	165	168	135	3.48
63	28	830	1157	350	115.8	0	48.5
64	7	823	1209	100	115	150	14.16
65	1	682.5	460.688	170	166	30	2.04
66	7	1062.79	1051.1	300	105	0	30.25
67	28	633.75	427.781	210	165	90	34.94
68	7	765.2	1175.5	350	129.5	0	30.55
69	90	823	1209	100	115	150	34.94
70	180	682.5	460.688	200	164	0	18.91

شماره	سن بتن	ماسه (کیلوگرم)	شن (کیلوگرم)	سیمان (کیلوگرم)	آب (کیلوگرم)	خاکستر بادی (کیلوگرم)	مقاومت فشاری (مگاپاسکال)
71	1	682.5	460.688	140	168	60	2.1
72	28	823	1209	100	115	150	26.72
73	3	682.5	460.688	110	170	90	2.98
74	28	812	1131	350	126	0	37
75	28	811	1130	350	133	0	38.2
76	7	751.8	1154.9	380	133	0	34.1
77	28	755.2	1160.1	350	139.3	0	35.95
78	180	585	394.875	400	160	0	58.48
79	7	581	1248	200	100	50	24.15
80	1	585	394.875	340	164	60	9.65
81	28	775.7	1191.5	350	119.3	0	44.8
82	28	735.3	1129.5	307.7	113.8	0	39.8
83	180	807	1185	250	123	50	54
84	7	811	1130	350	133	0	21.9
85	90	861	1263	250	97.5	0	49.09
86	3	585	394.875	400	160	0	27.58
87	1	682.5	460.688	110	170	90	1.5
88	7	755.2	1160.1	350	139.3	0	28.4
89	28	889.27	1215.98	300	105	0	37.97
90	3	585	394.875	280	168	120	17.12
91	7	421	1144	350	122.5	0	29.13
92	28	1015.45	1004.3	370	122.1	0	41.87
93	7	821	1144	325	130	0	33
94	180	585	394.875	280	168	120	55.3
95	28	780	1198	320	124.8	0	35
96	7	775.7	1191.5	350	119.3	0	36.7
97	28	807	1185	250	123	50	39.29
98	90	695	1020	250	188	150	58.73
99	3	682.5	460.688	140	168	60	4.06
100	28	795.2	1221.5	392.3	145.1	0	44.7
101	180	755	1107	250	150.5	100	58.45
102	7	717.68	1384.57	280	109.2	0	26.03
103	3	633.75	427.781	165	168	135	6.91
104	7	967.85	1346.31	335	113.9	0	30.93
105	3	633.75	427.781	210	165	90	10.9
106	7	861	1263	250	97.5	0	28.64
107	1	633.75	427.781	300	159	0	7.61
108	28	695	1020	250	188	150	44.59
109	7	830	1157	350	115.8	0	42.5
110	7	780	1198	320	124.8	0	24.2
111	90	851	1248	200	100	50	42.95
112	28	690.5	1332.13	370	111	0	34.64

جدول ۱- ادامه.

Table 1- Continuation.

مقاومت فشاری (مگاپاسکال)	خاکستر بادی (کیلوگرم)	آب (کیلوگرم)	سیمان (کیلوگرم)	شن (کیلوگرم)	ماسه (کیلوگرم)	سن بتن	شماره
42.4	0	122.1	370	1156.2	845.55	28	113
31	0	165	300	1098	789	28	114
36.45	0	148.2	380	1130.9	736.2	7	115
14.56	60	168	140	460.688	682.5	28	116
55.32	0	160	400	394.875	585	28	117
46.13	50	100	200	1248	851	180	118
8.14	30	166	170	460.688	682.5	3	119
19.36	0	159	300	427.781	633.75	3	120
34.53	0	122.1	370	1156.2	845.55	7	121
30.23	0	109.2	280	1384.57	717.68	28	122
34.47	150	188	250	1020	695	7	123
33.73	0	122.1	370	1004.3	1015.45	7	124
36.72	0	113.9	335	1346.31	697.85	28	125
35.61	150	115	100	1209	823	180	126
18.62	60	168	140	460.688	682.5	180	127
61.55	150	188	250	1020	695	180	128

در پژوهش حاضر از روش شبکه عصبی مصنوعی، مقاومت فشاری نمونه استاندارد بتن مدل سازی و عملکرد آن ها با کمک معیارهای متداول ارزیابی عملکرد، مورد بررسی قرار گرفته است. مقادیر مقاومت فشاری نمونه بتن به صورت تابعی از شاخص بار نقطه ای، قطر، نمونه طول نمونه اندازه بزرگ ترین سنگ دانه با کمک الگوریتم های هوشمند *ANN* پیش بینی شده است و در نهایت با کمک داده های آموزش، صحت سنجی و آزمون مورد استفاده در روش پیشنهادی تحقیق شامل ۱۲۷ نمونه از نتیجه مقاومت فشاری با روش بار نقطه ای بوده است.

$$X_{normal} = \frac{x - x_{min}}{x_{max} - x_{min}} \quad (۱)$$

روش پیشنهادی تحقیق با کمک نرم افزار *Matlab Ra* ورژن ۲۰۱۸، تحلیل شبکه عصبی و *ANN* بر روی نتایج حاصل از آزمایش های محققان انجام شد و مقدار مقاومت فشاری بتن پیش بینی گردید. در این مطالعه به منظور برآورد مقاومت فشاری از مدل شبکه عصبی مصنوعی از نوع پرسپترون با روش بهینه سازی لونیگ مارکوارت استفاده شد و بهترین ساختار شبکه با استفاده از شاخص آماری خطای میانگین مربعات (*MSE*) انتخاب گردید. الگوریتم لونیگ مارکوارت، اغلب سریع ترین الگوریتم پس انتشار خطا می باشد.

بردارهای ورودی و خروجی شبکه توسط الگوریتم لونیگ مارکوارت به طور تصادفی به داده های آموزش، صحت سنجی و آزمون تقسیم شده اند که درصد اختصاص یافته به بخش آموزش صحت سنجی و آزمون در مدل بهینه در این مطالعه به ترتیب ۷۰، ۱۵ و ۱۵٪ است که ۹۰ داده برای آموزش و ۱۹ داده برای صحت سنجی و ۱۹ داده برای آزمون به صورت تصادفی انتخاب شده است. البته شایان توجه است که باید قبل از بسط شبکه عصبی، تمام داده ها برای یکسان سازی ارزش داده ها نرمال سازی شوند. در این پژوهش با استفاده از رابطه (۱) داده ها نرمال سازی شدند [14].

در رابطه (۱)، X مقادیر واقعی متغیر، X_{mx} مقدار بیشینه X_{min} مقدار کمینه در داده ها و X_{norm} مقادیر نرمال شده هستند. جدول ۲ نرمال سازی داده های مورد استفاده را نشان می دهد.

جدول ۲- نرمال‌سازی داده‌های مورد استفاده.

Table 2- Normalization of the used data.

مقاومت فشاری	خاکستر بادی	آب	سیمان	شن	ماسه	سن	شماره
0.004351	0.75	0.893617	0.4125	0.308214	0.596308	0.150838	1
0.007359	0	0.87766	0.75	0.792802	0.742386	0.03352	2
0.01214	0.555556	0.800532	0.625	0.799309	0.710394	0.150838	3
0.009467	0.555556	0.800532	0.625	0.799309	0.710394	0.03352	4
0.005711	0	0.718085	0.9375	0.80437	0.752736	0.03352	5
0.01413	0	0.707447	0.95	0.833942	0.707383	0.150838	6
0.008702	0.75	0.893617	0.4125	0.308214	0.596308	1	7
0.012658	0	0.651596	0.875	0.826061	0.772495	0.150838	8
0.012128	0	0.605851	0.8375	0.85611	0.815777	0.150838	9
0.013044	0.25	0.861702	0.6375	0.308214	0.596308	0.150838	10
0.014772	0.277778	0.654255	0.625	0.855705	0.759322	0.497207	11
0.003488	0	0.851064	1	0.284422	0.550438	0	12
0.013739	0.25	0.861702	0.6375	0.308214	0.596308	1	13
0.007722	0	0.590426	0.925	0.962084	0.649705	0.03352	14
0.002797	0.5	0.904255	0.275	0.332006	0.642178	0.150838	15
0.008587	0	0.56383	0.75	0.878105	0.836732	0.03352	16
0.007383	1	0.93617	0.55	0.284422	0.550438	1	17
0.011672	0.666667	0.893617	0.7	0.284422	0.550438	0.150838	18
0.001628	0.25	0.861702	0.6375	0.308214	0.596308	0	19
0.007033	0.166667	0.882979	0.425	0.332006	0.642178	1	20
0.004825	0.25	0.861702	0.6375	0.308214	0.596308	0.011173	21
0.010009	0	0.605851	0.8375	0.85611	0.815777	0.03352	22
0.01149	0.555556	0.558511	0.375	0.891857	0.791313	1	23
0.018949	0.333333	0.87234	0.85	0.284422	0.550438	1	24
0.007654	0	0.670213	0.875	0.816661	0.764027	0.03352	25
0.010333	0	0.718085	0.9375	0.80437	0.752736	0.150838	26
0.00967	0	0.595745	0.8	0.87971	0.746243	0.03352	27
0.009146	0.277778	0.654255	0.625	0.855705	0.759322	0.03352	28
0.005316	0	0.87234	0.5	0.332006	0.642178	0.150838	29
0.010913	0	0.558511	0.75	0.758891	1	0.150838	30
0.012482	0	0.68883	0.875	0.848836	0.711523	0.150838	31
0.011481	0	0.605851	0.8375	0.739876	0.974981	0.150838	32
0.001843	1	0.93617	0.55	0.284422	0.550438	0	33
0.016217	0.555556	0.800532	0.625	0.799309	0.710394	0.497207	34
0.005134	0.555556	0.558511	0.375	0.891857	0.791313	0.03352	35
0.001201	0.5	0.87766	0.525	0.308214	0.596308	0	36
0.006691	0.333333	0.87234	0.85	0.284422	0.550438	0.011173	37
0.012761	0	0.595745	0.8	0.87971	0.746243	0.150838	38
0.012953	0	0.691489	0.8125	0.826061	0.772495	0.150838	39
0.01685	0.333333	0.87234	0.85	0.284422	0.550438	0.150838	40
0.012717	0	0.651596	0.875	0.826061	0.396127	0.150838	41
0.00955	0	0.605851	0.8375	0.739876	0.974981	0.03352	42
0.009773	0	0.771809	0.98075	0.882096	0.748219	0.03352	43
0.002352	0	0.87234	0.5	0.332006	0.642178	0.011173	44
0.009832	0	0.651596	0.875	0.826061	0.772495	0.03352	45
0.006097	0.166667	0.882979	0.425	0.332006	0.642178	0.150838	46

جدول ۲-ادامه.

Table 2- Continuation.

مقاومت فشاری	خاکستر بادی	آب	سیمان	شن	ماسه	سن	شماره
0.012225	0	0.845745	0.75	0.522953	0.596308	0.150838	47
0.008272	0	0.605319	0.76925	0.815577	0.691858	0.03352	48
0.01257	0	0.788298	0.95	0.816589	0.692705	0.150838	49
0.000924	0	0.87234	0.5	0.332006	0.642178	0	50
1	0.277778	0.531915	0.5	0.901256	0.800723	0.150838	51
0.014319	0	0.845745	0.75	0.308214	0.596308	1	52
0.010418	0.5	0.87766	0.525	0.308214	0.596308	1	53
0.003197	1	0.93617	0.55	0.284422	0.550438	0.011173	54
0.009994	0	0.518617	0.625	0.912101	0.810132	0.150838	55
0.006518	1	0.93617	0.625	0.284422	0.550438	0.150838	56
0.015628	0	0.518617	0.625	0.912101	0.810132	1	57
0.00461	0.5	0.904255	0.275	0.332006	0.642178	1	58
0.008958	0.555556	0.558511	0.375	0.891857	0.452582	0.150838	59
0.001963	0.666667	0.893617	0.7	0.284422	0.550438	0	60
0.010945	0.555556	0.558511	0.375	0.891857	0.791313	0.497207	61
0.001024	0.75	0.893617	0.4125	0.308214	0.596308	0	62
0.014277	0	0.615957	0.875	0.83546	0.780963	0.150838	63
0.004168	0.833333	0.611702	0.25	0.873058	0.774377	0.03352	64
0.000601	0.166667	0.882979	0.425	0.332006	0.642178	0	65
0.008905	0	0.558511	0.75	0.758891	1	0.03352	66
0.010286	0.5	0.87766	0.525	0.308214	0.596308	0.150838	67
0.008993	0	0.68883	0.875	0.848836	0.719992	0.03352	68
0.010286	0.833333	0.611702	0.25	0.873058	0.774377	0.497207	69
0.005567	0	0.87234	0.5	0.332006	0.642178	1	70
0.000618	0.333333	0.893617	0.35	0.332006	0.642178	0	71
0.007866	0.833333	0.611702	0.25	0.873058	0.774377	0.150838	72
0.000877	0.5	0.904255	0.275	0.332006	0.642178	0.011173	73
0.010892	0	0.670213	0.875	0.816661	0.764027	0.150838	74
0.011245	0	0.707447	0.875	0.815938	0.763086	0.150838	75
0.010038	0	0.707447	0.95	0.833942	0.707383	0.03352	76
0.010583	0	0.740957	0.875	0.837702	0.710583	0.150838	77
0.017215	0	0.851064	1	0.284422	0.550438	1	78
0.007109	0.277778	0.531915	0.5	0.901256	0.546674	0.03352	79
0.002841	0.333333	0.87234	0.85	0.284422	0.550438	0	80
0.013188	0	0.634574	0.875	0.860405	0.729871	0.150838	81
0.011716	0	0.605319	0.76925	0.815577	0.691858	0.150838	82
0.015896	0.277778	0.654255	0.625	0.855705	0.759322	1	83
0.006447	0	0.707447	0.875	0.815938	0.763086	0.03352	84
0.014451	0	0.518617	0.625	0.912101	0.810132	0.497207	85
0.008119	0	0.851064	1	0.284422	0.550438	0.011173	86
0.000442	0.5	0.904255	0.275	0.332006	0.642178	0	87
0.00836	0	0.740957	0.875	0.837702	0.710583	0.03352	88
0.011178	0	0.558511	0.75	0.878105	0.836732	0.150838	89
0.00504	0.666667	0.893617	0.7	0.284422	0.550438	0.011173	90
0.008575	0	0.651596	0.875	0.826061	0.396127	0.03352	91
0.012326	0	0.649468	0.925	0.725054	0.955457	0.150838	92

جدول ۲- ادامه.

Table 2- Continuation.

مقاومت فشاری	خاکستر بادی	آب	سیمان	شن	ماسه	سن	شماره
0.009714	0	0.691489	0.8125	0.826061	0.772495	0.03352	93
0.016279	0.666667	0.893617	0.7	0.284422	0.550438	1	94
0.010303	0	0.66383	0.8	0.865104	0.733917	0.150838	95
0.010804	0	0.634574	0.875	0.860405	0.729871	0.03352	96
0.011566	0.277778	0.654255	0.625	0.855705	0.759322	0.150838	97
0.017289	0.833333	1	0.625	0.736405	0.653939	0.497207	98
0.001195	0.333333	0.893617	0.35	0.332006	0.642178	0.011173	99
0.013159	0	0.771809	0.98075	0.882096	0.748219	0.150838	100
0.017206	0.555556	0.800532	0.625	0.799309	0.710394	1	101
0.007663	0	0.580851	0.7	1	0.675279	0.03352	102
0.002034	0.75	0.893617	0.4125	0.308214	0.596308	0.011173	103
0.009105	0	0.605851	0.8375	0.972337	0.910669	0.03352	104
0.003209	0.5	0.87766	0.525	0.308214	0.596308	0.011173	105
0.008431	0	0.518617	0.625	0.912101	0.810132	0.03352	106
0.00224	0	0.845745	0.75	0.308214	0.596308	0	107
0.013126	0.833333	1	0.625	0.736405	0.653939	0.150838	108
0.012511	0	0.615957	0.875	0.83546	0.780963	0.03352	109
0.007124	0	0.66383	0.8	0.865104	0.733917	0.03352	110
0.012644	0.277778	0.531915	0.5	0.901256	0.800723	0.497207	111
0.010197	0	0.590426	0.925	0.962084	0.649705	0.150838	112
0.012482	0	0.649468	0.925	0.834882	0.795595	0.150838	113
0.009126	0	0.87766	0.75	0.792802	0.742386	0.150838	114
0.01073	0	0.788298	0.95	0.816589	0.692705	0.03352	115
0.004286	0.333333	0.893617	0.35	0.332006	0.642178	0.150838	116
0.016285	0	0.851064	1	0.284422	0.550438	0.150838	117
0.01358	0.277778	0.531915	0.5	0.901256	0.800723	1	118
0.002396	0.166667	0.882979	0.425	0.332006	0.642178	0.011173	119
0.005699	0	0.845745	0.75	0.308214	0.596308	0.011173	120
0.010165	0	0.649468	0.925	0.834882	0.795595	0.03352	121
0.008899	0	0.580851	0.7	1	0.675279	0.150838	122
0.010147	0.833333	1	0.625	0.736405	0.653939	0.03352	123
0.009929	0	0.649468	0.925	0.725054	0.955457	0.03352	124
0.01081	0	0.605851	0.8375	0.972337	0.656621	0.150838	125
0.010483	0.833333	0.611702	0.25	0.873058	0.774377	1	126
0.005481	0.333333	0.893617	0.35	0.332006	0.642178	1	127
0.018119	0.833333	1	0.625	0.736405	0.653939	1	128

۲-۲- بررسی داده‌ها

داده‌های مورد استفاده در این پژوهش شامل سن بتن، میزان درشت‌دانه، ریزدانه، سیمان، آب، روان کننده به‌عنوان داده‌های ورودی و مقاومت فشاری به‌عنوان داده‌های تارگت در نظر گرفته شد. خصوصیات آماری داده‌ای مورد استفاده مطابق جدول ۳ می‌باشد.

جدول ۳- خصوصیات آماری داده‌های مورد استفاده.

Table 3- Statistical characteristics of the used data.

نام متغیر	تعداد	بیشترین مقدار	کمترین مقدار	میانگین	انحراف استاندارد
سن بتن (روز)	128	180	1	43.66	60.528
درشت‌دانه kg/m	128	1063	421	736.04	121.695
ریزدانه (kg/m)	128	1385	395	895.19	366.199
سیمان kg/m	128	400	100	271.72	84.160
آب (kg/m)	128	180	98	140.15	26.286
روان کننده kg/m	128	180	0	44.06	55.903
مقاومت فشاری (MPa)	128	3397	0	57.29	297.895

۳- معماری شبکه عصبی با استفاده از الگوریتم لورنبرگ

از مهم‌ترین عوامل در افزایش دقت یک شبکه عصبی انتخاب معماری بهینه آن است که این امر با تنظیم پارامترها صورت می‌گیرد. تعیین تعداد لایه بهینه و تعداد نرون در لایه پنهان که با روش آزمون و خطا به دست می‌آید، عملکرد شبکه ساخته‌شده را تا حد زیادی تحت تاثیر قرار می‌دهد. معیار متوقف کردن آموزش در شبکه‌های عصبی، میانگین مربعات خطا (MSE) (رابطه ۲) است که متوسط مجذور اختلاف میان مقدار پیش‌بینی شده توسط مدل (خروجی شبکه) و مقدار واقعی (تارگت) می‌باشد و هرچه مقدار MSE کوچک‌تر باشد به معنای عملکرد بهتر شبکه است [15].

$$MSE = \frac{1}{n} \sum_{i=1}^n e_i^2 \quad (2)$$

در رابطه (۲)، n تعداد پیش‌بینی‌ها و e خطای پیش‌بینی است که از تفاوت مقادیر پیش‌بینی شده و مقادیر واقعی به دست می‌آید.

مقدار R (رابطه ۳) بیانگر مقدار و شدت ارتباط و وابستگی بین خروجی شبکه (y) و هدف (y') است. درواقع این ارتباط نزدیک‌بین دو متغیر را اندازه‌گیری می‌کند و هر چه به ۱ نزدیک‌تر باشد نشان‌دهنده عملکرد بهتر مدل است. دو معیار R و MSE به‌عنوان پایه‌ای برای انتخاب شبکه بهینه است [16].

$$R = \sqrt{1 - \frac{\sum (y - y')^2}{\sum y'^2}} \quad (3)$$

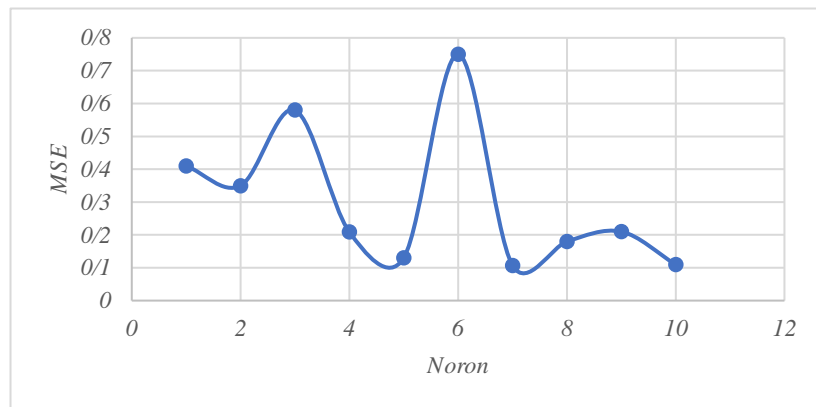
مقادیر متوسط و میانگین مربعات خطا برای ۱۰ بار آزمایش شبکه با n نرون در لایه پنهان مطابق جدول ۴ به‌دست آمده است.

جدول ۴- معیارهای ارزیابی مدل‌های شبکه عصبی مصنوعی در مرحله آزمایش.

Table 4- Evaluation criteria of artificial neural network models in the test phase.

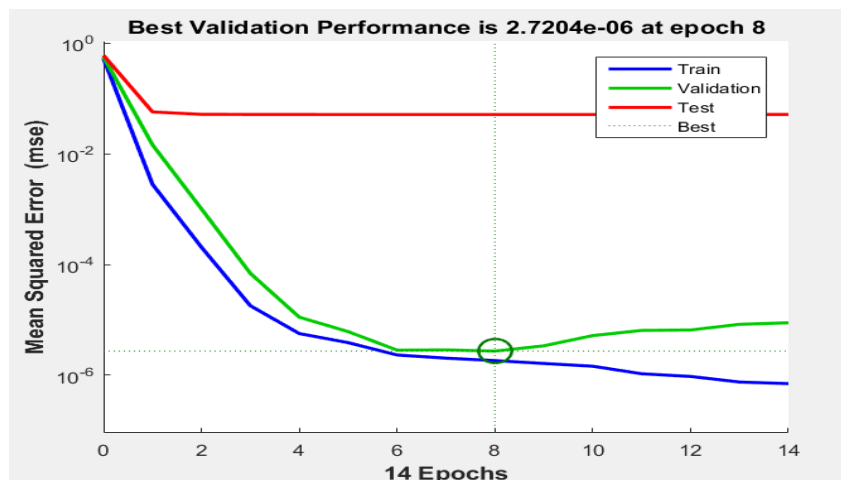
نام مدل	R	MSE
ann1	0.15	0.41
ann2	0.36	0.35
ann3	0.47	0.58
ann4	0.25	0.209
ann5	0.24	0.13
ann6	0.84	0.75
ann7	0.45	0.107
ann8	0.39	0.18
ann9	0.11	0.21
ann10	0.94	0.019

همان‌طور که از جدول ۴ قابل استنباط است حالتی که ۱۰ عصب در لایه پنهان وجود داشته باشد بهترین نتیجه را در برداشته است، یعنی دارای کمترین خطا و بیشترین ضریب همبستگی است. پس مدل ann_{10} بهترین مدل شبکه عصبی می‌باشد. شکل ۱، مقایسه مقدار خطابه ازای تعداد مختلف لایه‌های پنهان را نشان می‌دهد. همچنین شکل ۲، روند تغییرات تابع بهینه خطا برای شبکه بهینه را نشان می‌دهد.



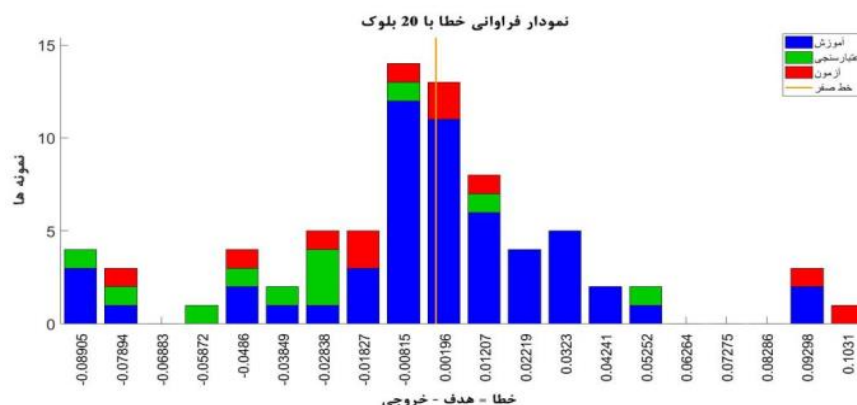
شکل ۱- مقایسه مقدار خطابه ازای تعداد مختلف لایه‌های پنهان.

Figure 1- Comparison of speech value for different number of hidden layers.



شکل ۲- روند تغییرات تابع بهینه خطا برای شبکه بهینه.

Figure 2- The trend of changes in the optimal error function for the optimal network.

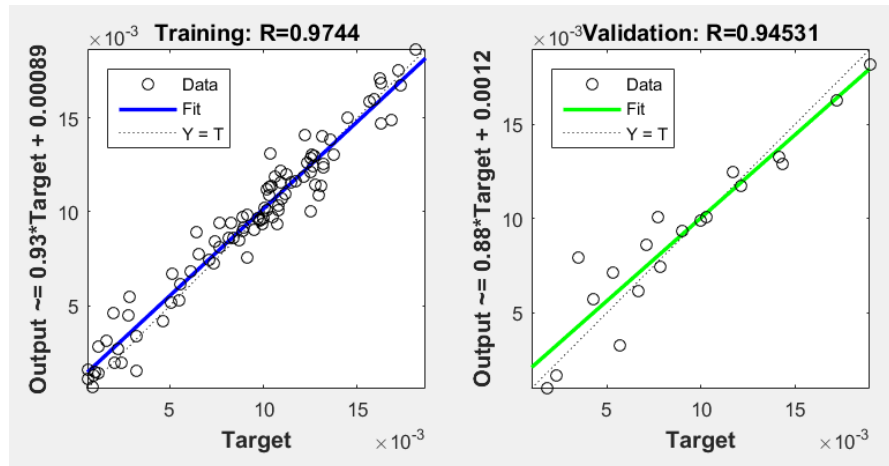


شکل ۳- نمودار فراوانی خطای داده‌های آموزش، داده‌های اعتبار سنجی و داده‌های آزمون.

Figure 3- Error frequency diagram of training data, validation data and test data.

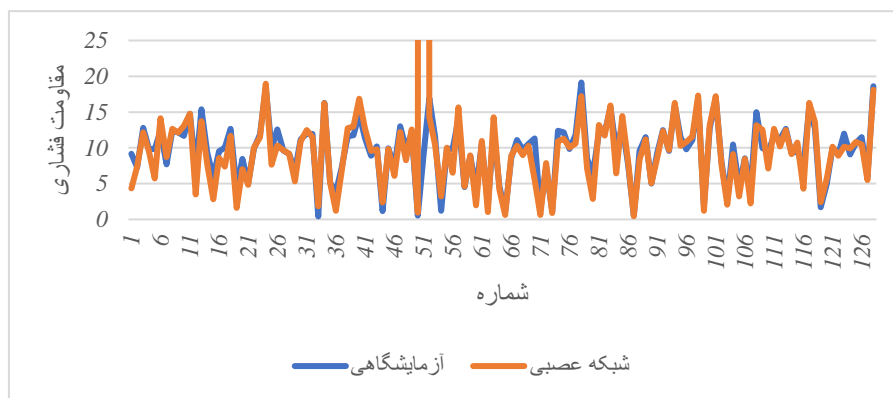
شکل ۳ تصویر هیستوگرام فراوانی خطای داده‌ها را در شبکه عصبی نشان می‌دهد. هرچقدر نمودار هیستوگرام به توزیع نرمال نزدیک‌تر باشد، نشان‌دهنده عملکرد مطلوب‌تر روش مورد استفاده است. ارتباط نتایج آزمایشگاهی و پیش‌بینی توسط مدل شبکه عصبی برای داده‌های آموزش،

صحت سنجی و آزمون در شکل ۴ ارایه شده است. در نهایت، شکل ۵، مقایسه مقادیر آزمایشگاهی و پیش‌بینی شده توسط شبکه عصبی ساخته شده را نشان می‌دهد.



شکل ۴-مقایسه مقادیر حقیقی مقاومت فشاری بتن با مدل ساخته شده برای داده‌های آموزش و اعتبار سنجی.

Figure 4-Comparison of the actual values of concrete compressive strength with the built model for training and validation data.



شکل ۵-مقایسه مقادیر آزمایشگاهی و پیش‌بینی شده توسط شبکه عصبی ساخته شده.

Figure 5- Comparison of experimental and predicted values by the constructed neural network.

خلاصه و مشخصات پارامترهای شبکه عصبی به کاررفته در این فصل مطابق جدول ۵ می‌باشد.

جدول ۵-خلاصه و مشخصات و پارامترهای شبکه عصبی به کاررفته.

Table 5-Summary and specifications and parameters of the neural network used.

پارامتر	توضیحات
ساختار شبکه عصبی	پرسپترون چندلایه (MLP)
نوع شبکه عصبی	پیشرو
الگوریتم آموزشی	لورنبرگ مارکوات
تابع عملکرد خطا	MSE
الگوریتم خطایابی	انتشار برگشتی
تعداد لایه پنهان	1
تعداد نرون‌های پنهان در لایه پنهان	10
تابع تحریک لایه میانی	تانژانت سگموئید
تابع تحریک لایه خروجی	خطی

۴- بحث بر روی نتایج

این مطالعه باهدف بررسی پیش‌بینی خواص مقاومتی بتن به کمک انواع مختلف شبکه‌های عصبی انجام گرفت. داده‌های مورد مطالعه در این پژوهش از بانک اطلاعاتی ۱۲۷ طرح اختلاط جمع‌آوری شده است. داده‌های ورودی شامل سن بتن برحسب روز، میزان درشت‌دانه، ریزدانه، سیمان، آب، روان‌کننده برحسب کیلوگرم بر سانتی‌متر مکعب بوده است و داده‌های هدف شامل مقاومت فشاری بوده است جمع‌آوری شده است. استفاده از هوش مصنوعی به‌عنوان یک روش مدرن جایگاه ویژه‌ای در علوم مهندسی دارد. در این پژوهش داده‌های مورد استفاده ابتدا نرمال‌سازی شدند و سپس داده‌های موردنظر با استفاده از الگوریتم لورنبرگ مارکوارت مورد آموزش قرار گرفت. معیارهای ارزیابی مدل‌های شبکه عصبی مصنوعی با استفاده از ارزیابی و خطا به‌دست آمد و نتایج نشان داد استفاده از ۱۰ لایه مخفی دارای بیشترین برای ضریب همبستگی و کمترین خطای MSE بوده است. ساختار این شبکه به‌صورت پرسپترون چندلایه بوده است. نتایج نشان داد برای شبکه عصبی ساخته‌شده مقدار ضریب همبستگی، ریشه میانگین مربعات خطا و میانگین خطای مطلق شبکه عصبی مصنوعی ساخته‌شده به ترتیب برابر است با ۰/۹۴، ۰/۹ و ۱/۹ بوده است.

احمد و همکارانش [8] نشان دادند از میان شبکه‌ها با تعداد نرون‌های مختلف، شبکه‌ای به‌عنوان شبکه بهینه انتخاب گردید که دارای بهترین مقادیر ضریب همبستگی حاصل از داده‌های آموزش، ارزیابی و آزمایش بوده و همچنین کمترین مقدار میانگین مربعات خطاها (MSE) را داشته باشد که در این مطالعه، شبکه با تعداد ۶ عدد نرون بهترین نتایج پیش‌بینی را ارائه کرد. شریعتی و همکارانش [9] مدل جنگل تصادفی، نسبت به مدل‌های تحلیلی، بهبود پیش‌بینی قابل ملاحظه در تعیین مولفه‌های زوال داشته است. پزارو و همکارانش [11] نشان دادند شبکه عصبی مصنوعی پیشنهادی بر مبنای داده‌های آزمایشگاهی این تحقیق به‌خوبی توانست مقادیر مقاومت فشاری استوانه‌ای نمونه‌های بتنی را پیش‌بینی کند. با استفاده از نتایج شبکه عصبی، مقادیر بهینه استفاده از پوزولان‌های موردنظر در این تحقیق به‌منظور دستیابی به بیشینه مقاومت فشاری تعیین گردید. همدی و همکارانش [16] نشان دادند که مدل در پیش‌بینی فشار پیژومتری در بدنه سد عملکرد قابل قبولی دارد. همچنین نتایج حاصل از مدل شبکه عصبی مصنوعی با کسب $R=0.93$ و $MAE=0.58$ همگرایی قابل قبولی را نشان می‌دهد. نتایج مربوط به داده‌های آموزش مدل نیز بیانگر این است که میانگین (μ) و انحراف معیار (σ) مدل ارائه‌شده، برای داده‌های آموزش به ترتیب برابر با ۱/۳۴۱ و ۱/۵۲۶ می‌باشد و برای داده‌های صحت‌سنجی این مقادیر برابر با ۱/۵۷۶ و ۲/۲۴۷ می‌باشد که این نشان از عملکرد خوب مدل پیشنهادشده دارد.

۵- نتیجه گیری

نتایج زیر برگرفته از کار انجام شده است:

۱. مقایسه مدل ANN با خروجی آزمایشگاهی برای کلیه داده‌ها نشان می‌دهد که توان رابطه بسیار نزدیکی میان خروجی مدل ANN با مقادیر آزمایشگاهی دارد.
۲. محاسبه درصد خطای نسبی بین مقادیر خروجی پیش‌بینی شبکه عصبی برای مجموعه داده‌ها در مقایسه با داده‌های آزمایشگاهی نشان می‌دهد به علت کم بودن مقدار درصد خطای نسبی، مدل‌سازی انجام‌شده توسط شبکه عصبی از دقت خوبی برخوردار بوده است.
۳. مدل شبکه عصبی ساخته‌شده دارای ضریب همبستگی ۰/۹۷ و ۰/۹۴ در داده‌های آزمایش و اعتبار سنجی بوده است که نشان‌دهنده دقت مناسب شبکه عصبی ساخته‌شده است.

منابع

- [1] Faghihmaleki, H., & Rastkar, H. (2024). Investigation of the effect of polyvinyle alcohol fibers on mechanical properties of the high-strength concrete containing microsilica. *Sigma journal of engineering and natural sciences*, 42(1), 153–163.
- [2] Faghihmaleki, H., & Nazari, H. (2023). Laboratory study of metakaolin and microsilica effect on the performance of high-strength concrete containing Forta fibers. *Advances in bridge engineering*, 4(1), 11. <https://doi.org/10.1186/s43251-023-00091-4>
- [3] Li, S., Liew, J. Y. R., & Xiong, M. X. (2021). Prediction of fire resistance of concrete encased steel composite columns using artificial neural network. *Engineering structures*, 245, 112877. <https://www.sciencedirect.com/science/article/pii/S0141029621010270>
- [4] Qian, F., Yabin, L., & Gangbing, S. (2019). Real-Time monitoring of early-age concrete strength using piezoceramic-based smart aggregates. *Journal of aerospace engineering*, 32(1), 4018115. [https://doi.org/10.1061/\(ASCE\)AS.1943-5525.0000939](https://doi.org/10.1061/(ASCE)AS.1943-5525.0000939)
- [5] Seifollahi, M., Abbasi, S., Fahimi Farzam, M., & Daneshfaraz, R. (2023). Crack detection in concrete structures using convolutional neural network. *Mdrsjrns*, 23(5), 21-34. (In Persian). <http://mcej.modares.ac.ir/article-16-54192-en.html>

- [6] Roshni, M. M., & Kargar, S. H. (2021). Laboratory evaluation of mechanical properties of concrete containing microsilica, iron-blast furnace slag and rice husk ash and its development using artificial neural network method. *Structural engineering and construction*, 9(7), 183-204. (In Persian). https://elmnet.ir/doc/2580785-88187?elm_num=1
- [7] Xi, X., Yin, Z., Yang, S., & Li, C.-Q. (2021). Using artificial neural network to predict the fracture properties of the interfacial transition zone of concrete at the meso-scale. *Engineering fracture mechanics*, 242, 107488. <https://www.sciencedirect.com/science/article/pii/S0013794420310493>
- [8] Ahmad, A., Chaiyasarn, K., Farooq, F., Ahmad, W., Suparp, S., & Aslam, F. (2021). Compressive strength prediction via gene expression programming (GEP) and artificial neural network (ANN) for concrete containing RCA. *Buildings*, 11(8). <https://www.mdpi.com/2075-5309/11/8/324>
- [9] Shariati, M., Mafipour, M. S., Mehrabi, P., Ahmadi, M., Wakil, K., Trung, N. T., & Toghrli, A. (2020). Prediction of concrete strength in presence of furnace slag and fly ash using Hybrid Artificial Neural Network-Genetic Algorithm (ANN-GA). *Smart structures and systems, an international journal*, 25(2), 183-195. <https://www.dbpia.co.kr/Journal/articleDetail?nodeId=NODE10697841>
- [10] Nguyen, H., Vu, T., Vo, T. P., & Thai, H. T. (2021). Efficient machine learning models for prediction of concrete strengths. *Construction and building materials*, 266, 120950. <https://www.sciencedirect.com/science/article/pii/S095006182032955X>
- [11] Pizarro, P. N., & Massone, L. M. (2021). Structural design of reinforced concrete buildings based on deep neural networks. *Engineering structures*, 241, 112377. <https://www.sciencedirect.com/science/article/pii/S0141029621005277>
- [12] Tran, V. L., Thai, D. K., & Nguyen, D. D. (2020). Practical artificial neural network tool for predicting the axial compression capacity of circular concrete-filled steel tube columns with ultra-high-strength concrete. *Thin-walled structures*, 151, 106720. <https://www.sciencedirect.com/science/article/pii/S0263823119314867>
- [13] Ramkumar, K. B., Kannan Rajkumar, P. R., Noor Ahmmad, S., & Jegan, M. (2020). A Review on performance of self-compacting concrete – use of mineral admixtures and steel fibres with artificial neural network application. *Construction and building materials*, 261, 120215. <https://www.sciencedirect.com/science/article/pii/S0950061820322200>
- [14] Ly, H. B., Nguyen, T. A., Thi Mai, H. V., & Tran, V. Q. (2021). Development of deep neural network model to predict the compressive strength of rubber concrete. *Construction and building materials*, 301, 124081. <https://www.sciencedirect.com/science/article/pii/S0950061821018419>
- [15] Lyngdoh, G. A., Zaki, M., Krishnan, N. M. A., & Das, S. (2022). Prediction of concrete strengths enabled by missing data imputation and interpretable machine learning. *Cement and concrete composites*, 128, 104414. <https://www.sciencedirect.com/science/article/pii/S0958946522000105>
- [16] Hammoudi, A., Moussaceb, K., Belebchouche, C., & Dahmoune, F. (2019). Comparison of artificial neural network (ANN) and response surface methodology (RSM) prediction in compressive strength of recycled concrete aggregates. *Construction and building materials*, 209, 425-436. <https://www.sciencedirect.com/science/article/pii/S0950061819305975>